ТЕХНИЧЕСКАЯ ФИЗИКА

И. А. КОРСУНСКАЯ, Д. С. КАМЕНЕЦКАЯ, Т. П. ЕРШОВА

РАСЧЕТ T-P-C-ДИАГРАММЫ СОСТОЯНИЯ СИСТЕМЫ Fe-CВ ОБЛАСТИ РАВНОВЕСИЙ С РАСПЛАВОМ ПРИ ДАВЛЕНИЯХ ДО 100 КБАР

(Представлено академиком 1'. В. Курдюмовым 24 VII 1972)

В работе (1) был произведен расчет границ равновссий в жидкой фазе с аустенитом, цементитом, графитом и алмазом для системы железо— углерод до давлений 50 кбар. Ограничение по давлению было связано с допущением линейной зависимости температуры плавления графите ог давления. В настоящей работе излагаются результаты расчета T-P-C-диаграммы состояния (д.с.) системы Fe—C до давления 100 кбар с учетом максимума на кривой плавления графита при 60-70 кбар (2, 3). Расчет ограничен давлением 100 кбар в связи с тем, что экспериментально кривая плавления железа известна до 96 кбар (4).

Для описания линии равновесия жидкий углерод—графит использоваца зависимость скачка объема при плавлении графита от давления в форме квадратичного полинома:

$$\Delta V_{\Pi\Pi}^{\text{K--}\Gamma} = \Delta V_{\Pi\Pi_0}^{\text{K--}\Gamma} + A_1 P + A_2 P^2. \tag{1}$$

Пренебрегая зависимостью скачка эптропии плавления графита от давления и интегрируя (1) по P, составляем выражение для изменения термодинамического потенциала при плавлении графита:

$$\Delta G_c^{\text{m-r}} = (T_{\text{II},\text{I}_0} - T) \cdot \Delta S_{\text{II},\text{II}}^{\text{m-r}} + 23.9P \left(\Delta V_{\text{II},\text{II}_0}^{\text{m-r}} + \frac{A_1 P}{2} + \frac{A_2 P^2}{3} \right). \tag{2}$$

Для нахождения четырех неизвестных в этом уравнении $\Delta S_{\pi\pi}^{\text{ж-г}}$, $\Delta V_{\pi,\sigma}^{\text{ж-г}}$, A_1 и A_2 были использованы следующие данные из работы (2): 1) координаты точки максимума P=65 кбар, $T=4600^{\circ}$ K; 2) теплота плавления графита, равная 25 ккал/моль при P=48 кбар; 3) начальный наклон кривой плавления графита, который по нашей оценке составляет 11.6° /кбар; 4) учитывалось, что в точке максимума скачок объема при плавлении графита равен нулю. Тогда выражение, описывающее линию равновесия графит—жидкий углерод, принимает вид

$$\Delta G_c^{\text{M-r}} = 22513 - 5{,}491T + 23{,}9P(2{,}665 - 0{,}00041P - 0{,}000206P^2) = 0.$$
 (3)

Использование уравнения (3) и выражения для разности термодинамических потенциалов графита и алмаза по данным (5)

$$\Delta G_c^{r-A} = -300 - 1.14T + 23.9P \cdot 1.76$$
 кал/моль (4)

позволяет получить уравнение кривой плавления алмаза

$$\Delta G_c^{\text{H-A}} = 22213 - 6.631T + 23.9P(4.425 - 0.00041P - 0.000206P^2) = 0.$$
 (5)

Из (5) видно, что метастабильная часть кривой плавления алмаза также имеет максимум. Такая форма кривой плавления алмаза дает отрицательный наклон этой кривой в области стабильного равновесия алмаз—жидкий углерод, что согласуется с экспериментальными данными (2). Пересечение линий попарных равновесий жидкость—графит, жидкость—алмаз и графит—алмаз, вычисленных соответственно по уравнениям (3), (5) и (4), дает тройную точку равновесия графит—алмаз—жидкий углерод с координатами $T = 4030^{\circ} \, \mathrm{K}$, $P = 117 \, \mathrm{K}$ которая находится между тройными точками, найденными экспериментально в (2) ($T = 110 \, \mathrm{K}$

 $=4100^{\circ}$ К, P=125-130 кбар) и в (3) ($T=3500-3700^{\circ}$ К, P=110 кбар). Соотношения, полученные для равновесия различных фаз углерода, были использованы при расчете T-P-C д.с. железо-углерод до 100 кбар. Сжимаемость жидкого углерода, как видно из (3), на два порядка превышает сжимаемость даже графита и сильно возрастает с давлением, соответственно сжимаемость расплава железо-углерод предполагается линейно зависящей от концентрации; не учтена сжимаемость цементита, поскольку сжимаемость расплава железо-углерод с концентрацией 25 ат.% С, по нашим оценкам, во много раз превышает сжимаемости известных твердых фаз, поэтому последние в работе не учитывались.

Как и в работе (1), приняты модель регулярных растворов для описания расплава и модель Темкина — Шварцмана для аустенита (6).

Использование выражений для термодинамических потенциалов расплава, аустенита, графита, алмаза и цементита, приведенных в (1), с учетом соотношений (3) — (5) позволило получить следующие уравнения равновесий расплава с остальными фазами:

уравнение графитного ликвидуса:

$$22513 - 5,491T + 23,9P(2,665 - 0,00041P - 0,000206P^{2}) + 1,987T \ln N_{c} + (-26729 + 8,849T - 119,5P)(1 - N_{c})^{2} = 0;$$
(6)

уравнение алмазного ликвидуса:

$$22 213 - 6,631T + 23,9P (4,425 - 0,00041P - 0,000206P^{2}) + 1,987T \ln N_{c} + (-26729 + 8,849T - 119,5P) (1 - N_{c})^{2} = 0;$$
 (7)

уравнение цементитного ликвидуса:

$$\begin{array}{l} 4250 + 13,926T - 1,906T \ln T + 0,497 T \ln N_c + 1,490T \ln (1 - N_c) + \\ + 23,9P \left(0,884 + 469 \cdot 10^{-6}T - 0,0001P - 0,0000515P^2\right) + \\ + \left(-26729 + 8,849T - 119,5P\right) \left(0,25 - 0,5N_c + N_c^2\right) = 0; \end{array} \tag{8}$$

уравнения линий равновесия аустенит-расплав:

$$933 - 19,723T + 2,561T \ln T + 10085N_{c_1}^2 - 0,497T \ln \frac{1 - N_{c_1}}{1 - 5N_{c_1}} - \frac{1 - N_{c_1}}{1 - 5N_{c_1}} - \frac{1 - N_{c_2}}{1 - 5N_{c_2}} - \frac{1}{1 - 5N_{c_1}} - \frac{1}{1 - 5N_{c_2}} - \frac{1}{1 - 5N_{c_2}} - \frac{1}{1 - 5N_{c_1}} - \frac{1}{1 - 5N_{c_1}} - \frac{1}{1 - 5N_{c_1}} - \frac{1}{1 - 5N_{c_1}} + \frac{1}{1 - 5N_{c_1}} + \frac{1}{1 - 5N_{c_1}} - \frac{1}{1 - 5N_{c_1}} + \frac{1}{1 - 5N_{c_1}} - \frac{1}{1 - 5N_{c_1}} - \frac{1}{1 - 5N_{c_1}} + \frac{1}{1 - 5N_{c_1}} - \frac{1}{1 - 5N_{c_1}}$$

Решение уравнений равновесия (6)-(10) с использованием ЭВМ Минск-22 позволило построить T-P-C д.с. до 100 кбар. Изменения приведенных в $(^i)$ изобарических сечений T-P-C д.с. железо—углерод пезначительны. В связи с этим в настоящей работе показаны изобарические сечения, соответствующие давлениям 70 и 90 кбар (рис. 1).

С повышением давления наблюдаются сложные взаимные смещения линий равновесия, связанные с увеличением плотности жидкого углерода под давлением, что сказывается на свойствах расплава железо—углерод и, следовательно, на равновесиях всех фаз с расплавом. Расширяется температурный и концептрационный интервалы области двухфазного равновесия аустенит—расплав, значительно уменьшается растворимость углерода в аустените — до 1 ат. % при 100 кбар (рис. 16). При давлениях выше 50 кбар цементит становится конгруэнтно плавящимся соединением.

Стабилизация цементита в эвтектоидной области была показана в (⁷). Как видно из рис. 2, температура и концентрация эвтектической точки равновесия аустенит—цементит—расплав изменяются с давлением немоно-

тонно. Согласно настоящему расчету при давлениях выше 65 кбар появляется область стабильного равновесия расплава с алмазом в некотором интервале температур (рис. 1 и 2). Этот интервал ограничен температурами перитектического равновесия графит—алмаз—расплав и эвтектического равновесия цементит—алмаз—расплав (рис. 1, 2a). При температурах выше перитектической стабильным остается равновесие жидкости с графитом.

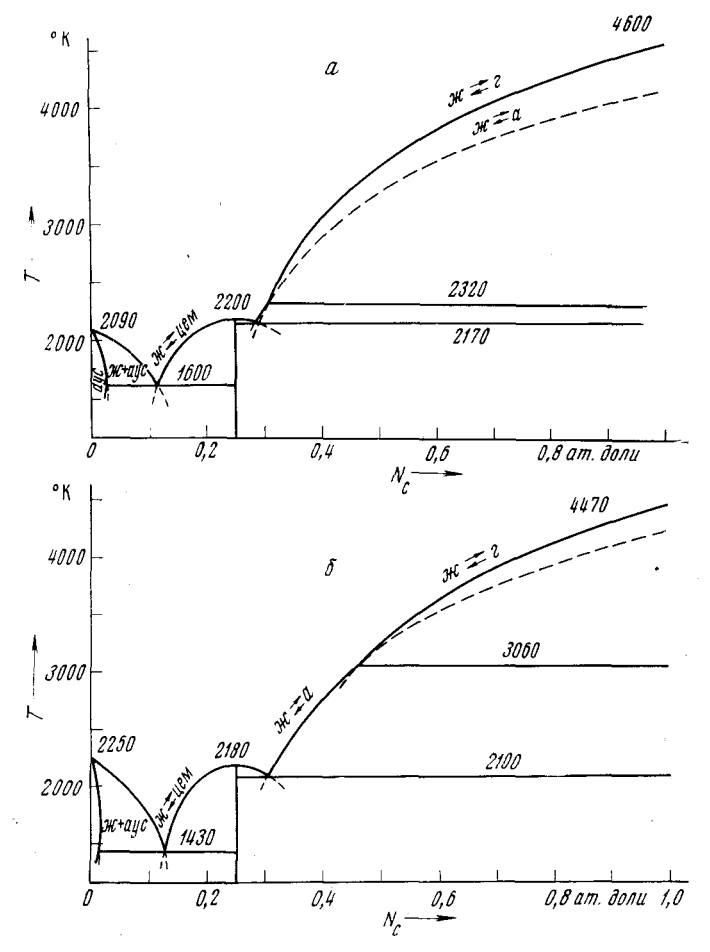


Рис. 1. Изобарическое сечение T-P-C д.с. Fe — С при P=70 (a) и P=90 кбар (6)

Изобарические сечения T-P-C д.с. Fe—C при давлениях свыше 50 кбар разбиваются цементитом на две диаграммы: Fe—Fe $_3$ C и Fe $_3$ C—C. При давлениях 50—65 кбар в системе Fe $_3$ C—C образуется цементитнографитная эвтектика, при давлениях свыше 65 кбар— цементитно-алмазмая эвтектика и графитно-алмазная перитектика.

Результаты настоящей работы не подтвердили перитектического типа равновесия расплав—цементит—алмаз (⁸, ⁹).

Результаты расчета находятся в удовлетворительном согласии с приведенными в литературе экспериментальными данными. Минимальные давления (65 кбар) и температура (1800° С) рассчитанной области стабильных равновесий расплава Fe-C с алмазом (рис. 2a) хорошо согласуются с известными из практики условиями синтеза алмаза в системе Fe-C (P=60-70 кбар, T=1400-2000° С) (9 , 10). Стабилизация цементита под давлением при высоких температурах подтверждается данными работы (11),

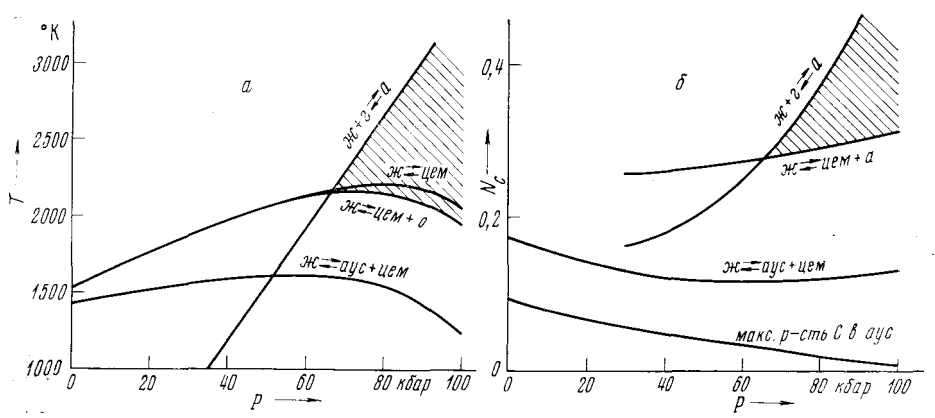


Рис. 2. Зависимость температур (а) и концентраций (б) характерных точек на д.с. Fe — C от давления

где показано, что цементит всегда сопутствует образованию кристаллов алмаза при давлении 60 кбар и не разлагается при этом давлении при нагреве. Согласпо нашему расчету, образование первичных кристаллов адмаза возможно только в зацементитной части д.с. при концентрациях, больших эвтектической (30 ат. %), что согласуется с экспериментальными данными (11), где образование алмазов при P=60 кбар наблюдалось при копцентрациях смеси железо-графит свыше 30 ат. % С.

Относительно роли металлов при образовании алмазов в литературе существуют различные предположения; основные сводятся к следующим: 1) металл является катализатором $\binom{12}{3}$; 2) выделение алмаза происходит за счет его меньшей растворимости в расплаве металл-углерод по сравнению с графитом (5, 14). Второе предположение находится в согласии с результатами нашей работы: при давлениях выше 65 кбар на д.с. Fe—C появляется область стабильных равновесий расплава с алмазом (рис. 1 и 2). Необходимость образования жидкой фазы для роста кристаллов алмаза подчеркивается в большинстве работ. На рис. 2 заштрихованы ции области стабильных равновесий жидкость—алмаз на T-P и C-P. В работах по выращиванию алмазов область синтеза на (T-P)-проекциях обычно ограничивается линиями равновесия графиталмаз и аустенитно-цементитной эвтектики. Как следует из результатов настоящей работы, важно исходить из положения не аустенитно-цементитной эвтектики, а цементитно-алмазной. Однако возможно, что при контактном способе на границе железо-графит в первую очередь образуется наиболее легкоплавкий расплав, соответствующий аустенитно-цементитной эвтектике, что облегчает дальнейший процесс растворения графита в расплаве.

Институт металловедения и физики металлов Центрального научно-исследовательского института черной металлургии им. И. П. Бардина Москва

Поступило 17 VĬI 1972

ЦИТИРОВАННАЯ ЛИТЕРАТУРА

¹ И. А. Корсунская, Д. С. Каменецкая, Т. П. Ершова, ДАН, 198, № 4, 837 (1971). ² F. Р. Вип dy, J. Chem. Phys., 38, 3, 618 (1963). ³ Н. С. Фатеева, Л. Ф. Верещагин, Письма ЖЭТФ, 13, 3, 157 (1971). ² H. М. Strong, J. Geol. Res., 64, 6, 653 (1959). ⁵ L. Каи f m an, E. Cloug herty, Metallurgy High Pressures and High Temperatures, N. Y.—London, 1964. ⁶ М. И. Темкин, Л. А. Шварцман, ЖФХ, 23, 6, 755 (1949). ¹ Т. П. Ершова, Е. Г. Понятовский, ДАН, 151, № 6, 1364 (1963). ⁶ В. К. Григорович, Литейное производство, 1, 28 (1969). ⁰ Н. М. Strong, R. М. Сhrenko, J. Phys. Chem., 75, 12, 1838 (1971). ¹ Н. Liander, E. Lundblad, Ark. Kemi, 16, 9, 139 (1960). ¹¹ Л. Ф. Верещагин, Л. Е. Штеренберг, В. Н. Слесарев, ДАН, 192, № 4, 768 (1970). ¹² Н. М. Strong, J. Chem. Phys., 39, 8, 2057 (1963). ¹³ Г. Б. Бокий, А. И. Волков, Кристаллография, 14, 1, 147 (1969). ¹⁴ Ю. А. Литвин, Неорганические материалы, 4, 2, 175 (1968).

ЦИТИРОВАННАЯ ЛИТЕРАТУРА

4, 2, 175 (1968).